

Anexa nr. 10 la Contract nr15N/16.03.2018

**Contractor: Institut National de Cercetare-Dezvoltare pentru Fizica Pamantului
Cod fiscal : 5495458**

(anexa la procesul verbal de avizare interna nr.)

De acord,
DIRECTOR GENERAL
Dr. Ing. Constantin Ionescu

Avizat,
DIRECTOR DE PROGRAM
Dr. Mircea Radulian

RAPORT DE ACTIVITATE AL FAZEI

Contractul nr.: 15N/16.03.2018

Proiectul: PN18150101: Aplicarea analizelor moderne în estimarea hazardului la cutremur si tsunami în vederea evaluarii si reducerii riscurilor asociate

Faza: 3. Modelarea proceselor seismice grupate din zonele seismotectonice ale Romaniei, in scopul parametrizarii sursei cutremurelor

Termen: 30 mai 2018

- 1. Obiectivul proiectului:** Aplicarea metodelor moderne in estimarea hazardului seismic regional si local si evaluarea si reducerea riscului seismic.
- 2. Rezultate preconizate pentru atingerea obiectivului:** Acest proiect are ca obiectiv realizarea unei investigatii complexe care sa evidenteze interconectarea fenomenelor care au loc in interiorul Pamantului cu cele de la suprafata, in scopul modelarii proceselor seismice si a fenomenelor tectonice si identificarea relatiei spatio-temporale dintre structura geologica, tensiunile crustale, potentialul seismogen si modelele de propagare ale undelor seismice in scopul evaluarii hazardului si riscului la cutremur, dar si a altor fenomene secundare asociate acestuia (tsunami). Pentru a indeplini acest obiectiv se au in vedere mai multe directii de cercetare: (1) estimarea si masurarea efectelor cutremurelor in cazul diferitelor amplasamente, modelarea propagarii undelor seismice prin structuri cu anumite caracteristici, in vederea introducerii lor ca date de intrare pentru proiectarea antiseismica, (2) evidențierea relatiei complexe dintre structura geologica, tensiunile crustale si potentialul seismogene al unor arii seismic active,

(3) determinarea parametrilor surselor seismice crustale si subcrustale: momentul seismic scalar, căderea de tensiune, raza si durata sursei, frecventa de colt, pentru cutremurele ale caror inregistrari au un raport semnal/zgomot mai mare decat 5, (4) parametrizarea gruparilor seismice din zonele seismogene ale Romaniei, (5) dezvoltarea de noi relatii de atenuare a intensitatii macroseismice pentru cutremurele crustale si subcrustale pentru realizarea unor analize de risc bazate pe scenarii seismice, (6) evaluarea post-seismică a stării structurii clădirilor, în cazul cutremurelor puternice, (7) estimarea pagubelor si evaluarea rapida a efectelor macroseismice si (8) evaluarea unor hazarde secundare asociate cutremurelor si anume fenomenul tsunami din zona litoralului romanesc al Marii Negre.

3. Obiectivul fazei: Scopul acestei faze este de a analiza caracteristicile producerii cutremurelor din zonele crustale Campulung-Fagaras si Maramures. In completare se face o sinteza a proprietatilor de scalare pentru parametrii de sursa din toate zonele crustale din Romania pe baza cutremurelor inregistrate in ultimii 30 de ani. De asemenea, este realizata o baza de date cu parametrii de sursa pentru un set de 117 de cutremure crustale produse in ultimii 10 ani pe teritoriul Romaniei.
4. Rezultate preconizate pentru atingerea obiectivului fazei: Pentru realizarea obiectivului fazei au fost selectate formele de unda cu raport semnal/zgomot satisfacator (24 de cutremure pentru sevenetele de la Campulung-Fagaras si 14 pentru Maramures) care permit aplicarea metodelor relative de analiza: metoda rapoartelor spectrale si deconvolutia cu functii Green empirice. Aplicand formule consacrate pentru calculul marimilor cutremurelor descrise in forma extinsa a fazei, se determina parametru de sursa in cazul celor 38 de evenimente: momentul seismic, magnitudinea din moment, frecventa de colt, raza sursei, caderea de tensiune, functia de timp a sursei. Cu parametrii astfel obtinuti se realizeaza relatii de scalare de tip magnitudine din moment-magnitudine locala, moment seismic-magnitudine, moment seismic-frecventa de colt si moment seismic-cadere de tensiune pe fiecare zona in parte. Pentru o caracterizare exhaustiva a surselor seismice de pe teritoriul Romaniei se realizeaza o sinteza a relatiilor de scalare pentru cutremurele generate in ultimii 30 de ani si se compara cu relatii obtinute pentru alte regiuni seismice de pe Glob. Pentru indeplinirea in intregime a cerintelor fazei prezente, se prezinta o Anexa cu parametrii de sursa estimati pentru 117 de cutremure crustale inregistrate in ultimii 10 ani care vor fi introdusi in baza de date a INCDFP.

5. Rezumatul fazei:

Pentru intocmirea rezumatului fazei vom prezenta in prima parte o sinteza a studiului secentelor din zonele crustale de pe teritoriul Romaniei prin prezentarea relatiilor de scalare ale parametrilor de sursa estimati. Numerele tabelelor, ale ecuatiilor si ale figurilor corespund celor din faza extinsa.

Pentru realizarea in intregime a obiectivelor fazei proiectului se va prezenta si o Anexa cu parametrii de sursa ai cutremurelor crustale produse in Romania in ultima decada. In Anexa sunt prezentati si parametrii de sursa pentru secentele de la Campulung-Fagaras si Maramures din 2015 care au fost analizate in extenso in aceasta faza impreuna cu marimile caracteristice pentru alte 79 de cutremure generate in alte zone crustale ale Romaniei in ultimii 10 ani.

Relatii de scalare sintetizatoare pentru toate zonele crustale din Romania, studiate in ultimii 30 de ani

Consideram ca cele mai potrivite concluzii referitoare la parametrizarea sursei seismice a cutremurelor secentelor crustale din Romania sunt relatiile de scalare dintre marimile fizice ce caracterizeaza procesul din focarul seismic pentru regiunile seismic active identificate.

Activitatea seismica de tip secente si rojuri a mai fost studiata anterior in vecinatatea zonei de adancime intermediara Vrancea (Ramnicu Sarat si Vrancioaia), Sinaia (1993), zona adiacenta retelei seismice BURAR (iunie 2011), zona din apropierea orasului Tg-Jiu (decembrie 2011-ianuarie 2012), zona Hateg (martie 2011 si septembrie 2013), zona Caransebes-Mehadia (octombrie 2014) si zona Marasesti (22 noiembrie 2014) (Enescu et al. 1996; Popescu, 2000; Popescu si Radulian, 2001; Popescu et al., 2011; 2012; Radulian et al., 2014; Placinta et al. 2015).

Parametrii de sursa estimati de-a lungul timpului (in secentele mentionate in paragraful anterior), alaturi de aceia evaluati in aceasta lucrare si impreuna cu relatiile lor de scalare sunt investigati ca indicatori ai particularitatilor geotectonice ale Romaniei.

Pentru toate cutremurile analizate, in scopul parametrizarii sursei seismice (socuri principale si functii Green empirice), s-au calculat ca medii pe toate valorile frecventelor de colt ale undelor P si S si razele sursei cu relatia (2), momentul seismic cu relatia (5), magnitudinea din moment si caderea de tensiune cu formula (3) (faza extinsa).

Am reprezentat mai intai scalarile magnitudinea din moment seismic in functie de magnitudinea locala si moment seismic M_0 cu magnitudinea locala (**Fig. 15, 16**). Relatiile matematice ce reprezinta scalarile au coeficientul de corelatie 0.89 si respectiv 0.84 si sunt prezentate de liniile de regresie (12, 13):

$$M_w = (0.68 \pm 0.04)M_L + (0.84 \pm 0.11) \quad (96 \text{ date}) \quad (12)$$

$$R = 0.89, \sigma = 0.27$$

$$\log M_0 = (1.51 \pm 0.07)M_L + (8.67 \pm 0.21) \quad (193 \text{ date}) \quad (13)$$

R=0.84, sigma=0.92

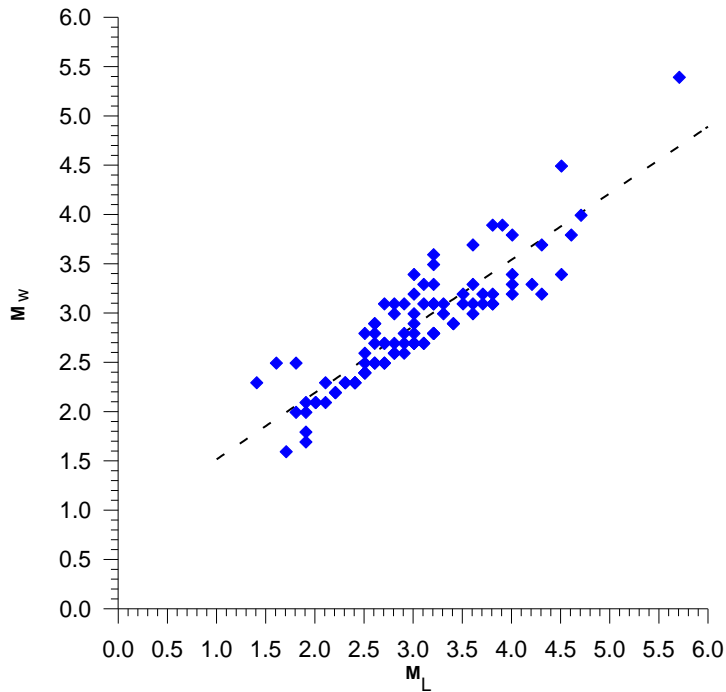


Fig. 15. Dependenta magnitudinii din moment de magnitudine locala. Dreapta de regresie este data de ecuatia (12)

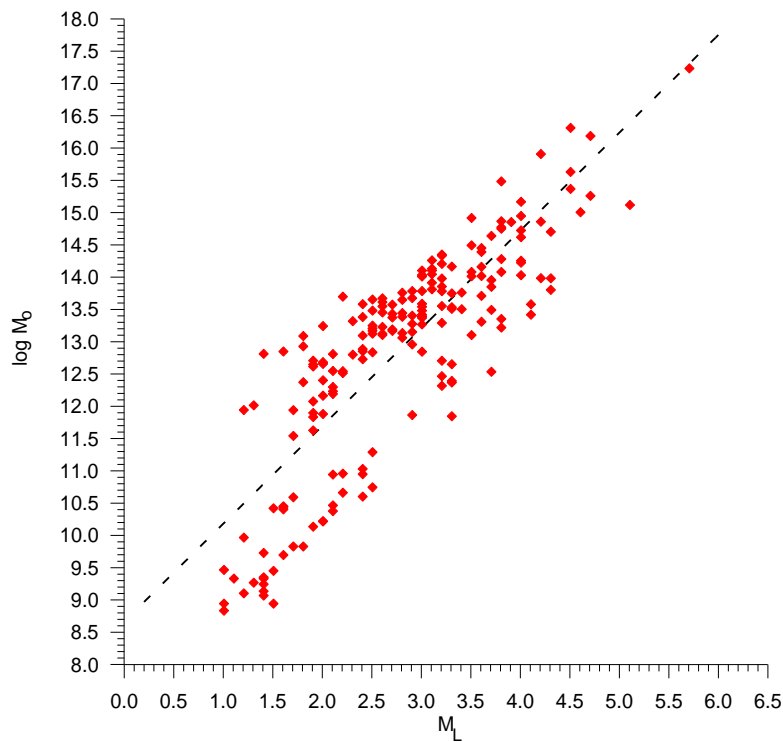


Fig. 16. Dependența momentului seismic de magnitudinea locală. Dreapta de regresie este data de ecuația (13)

Scalarea este similară cu determinările obținute pentru diferite regiuni seismice de pe Glob pentru dependența momentului seismic de magnitudinea locală (Bakun și Lindh, 1977; Archuleta et al., 1982; Fletcher et al., 1984; De Luca et al., 2000; Bindi et al., 2001; Dutta et al., 2003; Bora et al., 2013). Astfel, valoarea pantei se situează în intervalul obținut anterior de alți autori ~1.1 (e.g., Fletcher et al., 1984; De Luca et al., 2000; Bindi et al., 2001) și ~2.5 (e.g., Bakun și Lindh, 1977; Dutta et al., 2003; Bora et al., 2013).

Dependența momentului seismic de frecvența de colt este prezentată în **Fig. 17** și este aproximată de relația (14).

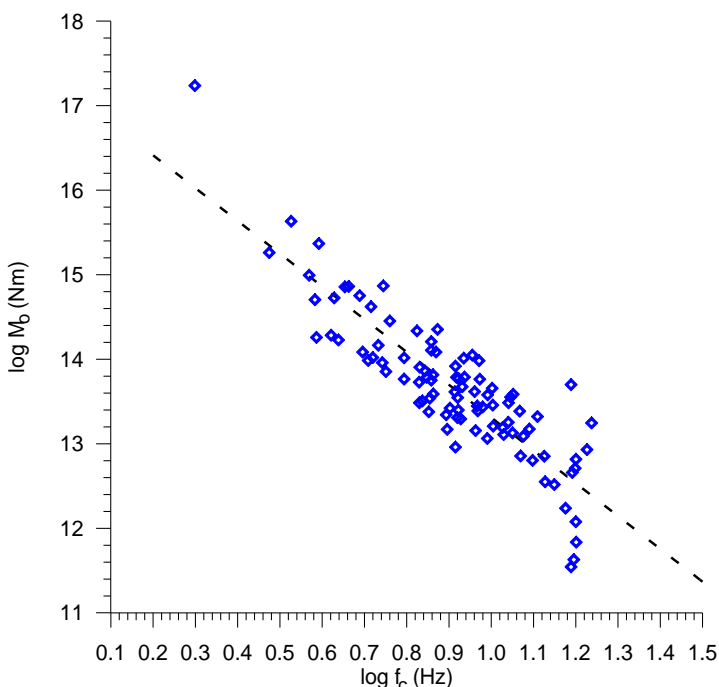


Fig. 17. Dependența momentului seismic de frecvența de colt. Dreapta de regresie este data de ecuația (14)

Panta scalarii moment seismic – frecvența de colt (-3.88) este mai mare decât panta teoretică (-3). Diferența se poate explica prin tendința de subestimare a frecvenței de colt în cazul celor mai mici cutremure deoarece, inevitabil, erorile sunt mai mari la frecvențe mai mari din cauza zgomotului prezent în formele de undă.

$$\log M_0 = -(3.88 \pm 0.22) \log f_c + (17.19 \pm 0.20) \quad (95 \text{ date}) \quad (14)$$

R=0.88, sigma=0.40

In cazul sevențelor crustale produse in Romania in ultimii 30 de ani, valorile caderii de tensiune sunt dispuse pe un interval foarte mare, între 1 și 100 MPa. Având în vedere erorile mari implicate, este dificil de tras o concluzie privind caracterul invariant al caderii de tensiune pe falie. Valorile caderii de tensiune sunt sistematic mai

mici in cazul cutremurelor mici si moderate, asa cum s-a observat in mai multe studii (Enescu et al., 1996; Popescu et al., 2001; 2003; Radulian et al. 2014, Placinta et al., 2015), in timp ce pentru evenimentele mai mari caderia de tensiune pare sa se stabilizeze la o valoare constanta (**Fig.18**). Deoarece frecventa de colt la cutremurile mici este foarte probabil subestimata (respectiv dimensiunea sursei este supraestimata) scaderea sistematica a caderii de tensiune la cutremurile mici este pusa pe seama acestor erori sistematice.

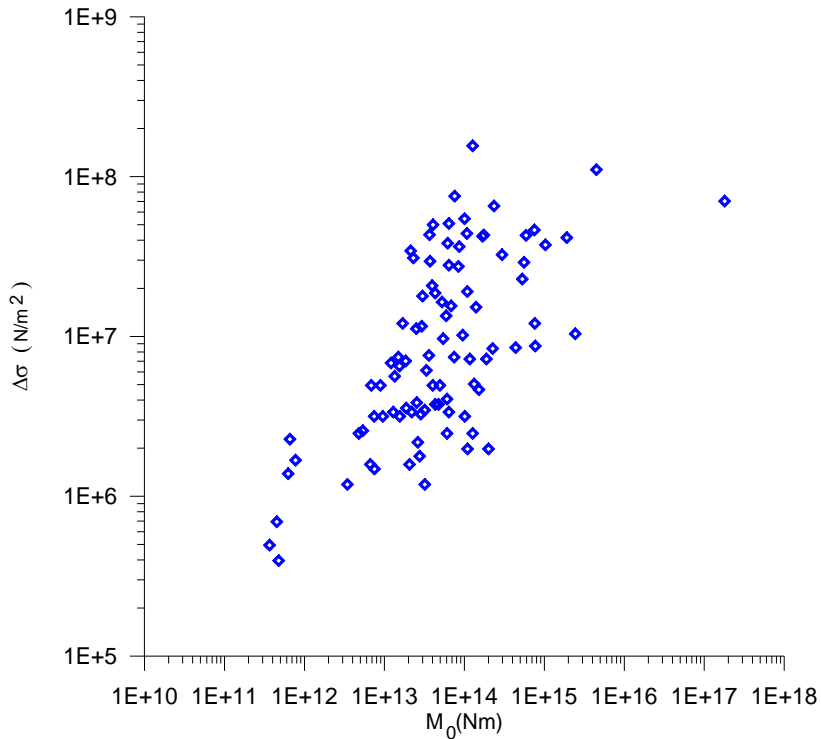


Fig. 18. Dependentă caderii de tensiune de momentul seismic (93 date)

Dependentele duratei sursei si a frecventei de colt de magnitudinea locală sunt reprezentate in **Fig. 19** si **Fig. 20**. Dupa cum era de asteptat, cresterea liniara aproximata prin dreapta de regresie (15) si, echivalent, scaderea liniara aproximata prin dreapta de regresie (16) reflecta faptul ca durata sursei este direct proportionala cu dimensiunea acesteia si implicit cu magnitudinea, in timp ce frecventa de colt este invers proportionala cu dimensiunea sursei si implicit cu magnitudinea.

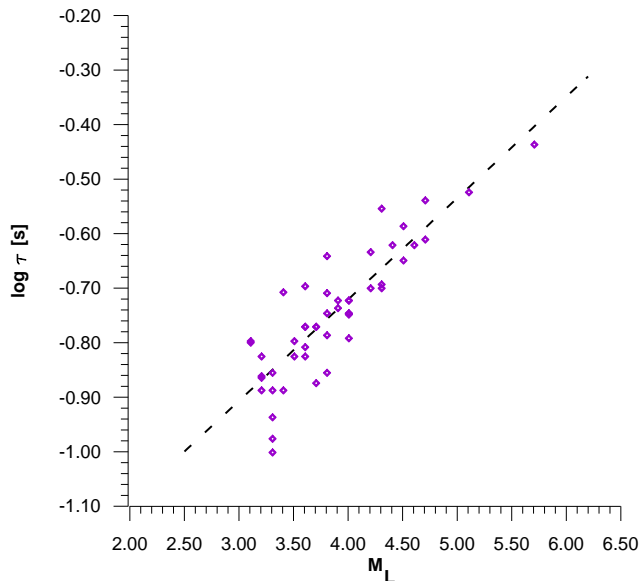


Fig. 19. Dependența duratei sursei de magnitudinea locală. Dreapta de regresie este data de ecuația (15)

$$\text{Log } \tau = (0.19 \pm 0.02)M_L - (1.46 \pm 0.06) \quad 49 \text{ date} \quad (15)$$

$R=0.87, \sigma=0.06$

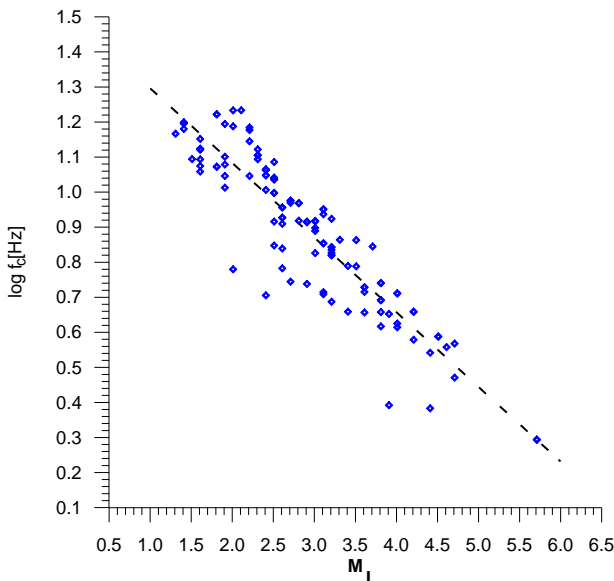


Fig. 20. Dependența frecvenței de colt a sursei de magnitudinea locală. Dreapta de regresie este data de ecuația (15)

$$\text{Log } f_c = -(0.21 \pm 0.01)M_L + (1.51 \pm 0.03) \quad (121 \text{ date}) \quad (16)$$

$R=0.91, \sigma=0.09$

Concluzii

O privire de ansamblu asupra valorilor duratei sursei si a frecventei de colt de-a lungul intregii arii a Carpatilor Meridionali si a partii de nord a Carpatilor Răsăriteni (zona BURAR) este prezentata in **Fig. 19** si **Fig 20** si de liniile de regresie (15) si (16). Am inclus in aceste grafice estimarile din acest raport si rezultatele anterioare obtinute pentru sevenetele de la Râmnicu Sărat, Vrincioaia si Sinaia, Tg-Jiu, Hateg din 2011 si 2013, Caransebes-Mehadia din 2014, Marasesti din 2014, Fagaras-Campulung din 2015, Maramures din 2015 (Popescu, 2000; Popescu and Radulian, 2001; Ardeleanu, 2011; Răileanu et al., 2012, Tugui et al., 2009, Radulian et al., 2014, Placinta et al. 2015).

Eforturile facute in ultimii ani de a imbunatati monitorizarea seismica a Romaniei (Enescu et al. 1996; Popescu, 2000; Popescu and Radulian, 2001; Popescu et al., 2011; 2012; Radulian et al., 2014, Placinta et al. 2015) au condus la marirea setului de date observational si la estimarea parametrilor de sursa pentru un numar insemnat de cutremure care au oferit oportunitatea actualizarii caracterizarii regionale a seismicitatii din Romania.

A fost o adevarata provocare evaluarea parametrilor in cazul cutremurelor mici la distante regionale datorita dificultatii de a controla fenomenul complex al propagarii si efectul amplasamentului si al nivelului scazut al raportului semnal/zgomot. De aceea metodele relative folosite in acest proiect corecteaza cel mai bine aceste efecte (Bakun and Bufe, 1975; Frankel, 1982; Mueller, 1985; Mori and Frankel, 1990; Hough et al., 1991).

Rezultatele obtinute in cazul zonelor crustale studiate in ultimii 30 de ani arata un model de sursa cu rupere simpla pe arii relativ mici si cu caderi de tensiune relativ mari (in medie 10 MPa). Aceste proprietati se regasesc in forma functiei de timp a sursei (**Fig. 4.** si **Fig. 11**).

Relatiile de scalare estimate pentru parametrii de sursa sunt compatibile cu relatiile caracteristice altor zone seismice de pe Glob.

Pentru indeplinirea in intregime a cerintelor fazei prezente s-a constituit o baza de date cu parametrii de sursa estimati pentru 117 de cutremure crustale (vezi Anexa din faza extinsa).

Bibliografie

Archuleta, R. J., E. C. Cranswick, C. Muller, Spudich, P., 1982. Source parameters of the 1980 Mammoth Lakes, California, earthquakes sequence. *J. Geophys. Res.* 87, 4595–4607.

Ardeleanu, L., 2011. Reliability of source parameters of low magnitude crustal earthquakes of Vrancea retrieved by high frequency waveform inversion. *Rom. Journ. Phys.* 56, 827-841.

Bakun, W. H., Bufe, C. G., 1975. Shear-wave attenuation along the San Andreas Fault zone in Central California. *Bull. Seismol. Soc. Am.* 65, 439–460.

Bakun, W. H., Lindh, A. G., 1977. Local magnitudes, seismic moments and coda duration for earthquakes near Oroville, California. *Bull. Seismol. Soc. Am.* 67, 615–629.

Bindi, D., D. Spallarossa, P. Augliera, Cattaneo, M., 2001. Source parameters estimated from the aftershocks of the 1997 Umbria-Marche (Italy) seismic sequence. *Bull. Seismol. Soc. Am.* 91, 448–455.

Boatwright, J., 1980. A spectral theory for circular seismic sources: simple estimates of source duration, dynamic stress drop, and radiated energy. *Bull. Seismol. Soc. Am.* 70, 1–28.

Bora, D. K., Baruah, S., Biswas, R., Gogoi, N. K., 2013. Estimation of source parameters of local earthquakes originated in Shillong–Mikir Plateau and its adjoining region of Northeastern India. *Bull. Seismol. Soc. Am.* 103, 437–446.

De Luca, G., Scarpa, R., Filippi, L., Gorini, A., Marcucci, S., Marsan, P., Milna, G., Zambonelli, E., 2000. A detailed analysis of two seismic sequences in Abruzzo, central Apennines, Italy. *J. Seismol.* 4, 1–21.

Dutta, U., Biswas, N., Martirosyan, A., Papageorgiou, A., Kinoshita, S., 2003. Estimation of earthquake source parameters and site response in Anchorage, Alaska, from strong-motion network data using generalized inversion method. *Phys. Earth Planet. Int.* 137, 13–29.

Enescu, D., Popescu, E., Radulian, M., 1996. Source characteristics of the Sinaia (Romania) sequence of May-June 1993. *Tectonophysics* 261, 39–49.

Fletcher, J., J. Boatwright, L. Haar, L. Hanks, and A. McGarr, Source parameters for aftershocks of the Oroville, California, earthquake. *Bull. Seismol. Soc. Am.* 74, 1101–1123, 1984.

Frankel, A., Precursors to a magnitude 4.8 earthquake in the Virgin Islands: spatial clustering of small earthquakes, anomalous focal mechanisms, and earthquake doublets. *Bull. Seismol. Soc. Am.* 72, 1277–1294, 1982.

Hough, S. E., Seeber, L., Lerner-Lam, A., Armbruster, G., Guo, H., 1991. Empirical Green's function analysis of Loma Prieta aftershocks. *Bull. Seismol. Soc. Am.* 81, 1737–1753.

Mori, J., Frankel, A., 1990. Source parameters for small events associated with the 1986 North Palm Springs, California earthquake determined using empirical Green functions. *Bull. Seismol. Soc. Am.* 80, 278–285.

Mueller, C. S., 1985. Source pulse enhancement by deconvolution of an empirical Green's function. *Geophys. Res. Lett.* 12, 33–36.

Placinta, A.O., E.Popescu, F. Borleanu, M. Radulian and M. Popa (2016), Analysis of source properties for the earthquake sequences in the south-western Carpathians (Romania), accepted for publication in Romanian Reports in Physics, 68, No. 3.

Popescu, E., 2000. Complex study of the earthquake sequences on the Romanian territory, PhD Thesis, 281p, Institute of Atomic Physics, Bucharest (in Romanian).

Popescu, E., Radulian, M., 2001. Source characteristics of the seismic sequences in the Eastern Carpathians foredeep region (Romania). *Tectonophysics* 338, 325–337.

Popescu, E., Popa, M., Radulian, M., 2003. Efficiency of the spectral ratio method to constrain the source scaling properties of the Vrancea (Romania) subcrustal earthquakes. *Rom. Rep. Phys.* 55, 149–169.

Popescu, E., Neagoe, C., Rogozea, M., Moldovan, I. A., Borleanu, F., Radulian, M., 2011. Source parameters for the earthquake sequence occurred in the Ramnicu Sarat area (Romania) November-December 2007. Rom. Journ. Phys. 56, 265-278.

Popescu, E., Borleanu, F., Rogozea, M., Radulian, M., 2012. Source analysis for earthquake sequence occurred in Vrancea (Romania) region on 6 to 30 September 2008. Rom. Rep. Phys. 64, 571-590.

Radulian, M., E. Popescu, F. Borleanu and M. Diaconescu (2014), Source Parameters of the December 2011 - January 2012 Earthquake Sequence in Southern Carpathians, Romania, Tectonophysics, 623, 23-38.

Răileanu, V., Tătaru, D., Grecu, B., 2012. Crustal models in Romania – I. Moesian platform. Romanian Report Phys. 64, 539-554.

Tugui, A., Craiu, M., Rogozea, M., Popa, M., Radulian, M., 2009. Seismotectonics of Vrancea (Romania) zone: the case of crustal seismicity in the foredeep area. Rom. Rep. Physics 61, 325-334.

Anexa: Parametrii de sursa pentru 117 de cutremure crustale ale sevenelor seismice produse in ultimii 10 ani pe teritoriul Romaniei

Nr.	An/luna/zi	hh:mm	M ₀ (Nm)	r (km)	f _c	Δσ (MPa)	M _w	M _L
	Campulung	Fagaras						
1	2009/04/12	14:49	3.52e+13	126	6.98	7.7	2.9	3.3
2	2009/04/12	14:58	3.27e+13	132	6.86	6.2	2.8	3.4
3	2010/06/16	16:50	5.29e+13	133	6.51	9.8	3.0	3.6
4	2010/11/30	17:10	9.32e+12	109	8.47	3.2	2.5	2.9
5	2011/02/06	21:35	7.27e+13	162	5.51	7.5	3.1	3.7
6	2011/04/23	11:08	2.50e+13	113	9.25	34.7	2.7	2.8
7	2012/03/03	03:25	6.67e+13	123	6.95	15.7	3.0	3.1
8	2012/04/09	06:33	1.18e+13	91	9.96	6.9	2.6	2.8
9	2012/08/23	17:47	9.29e+13	158	5.56	10.3	3.2	3.7
10	2013/02/27	02:26	3.96e+13	70	7.18	50.5	2.8	3.0
11	2013/02/27	12:30	1.85 e+14	223	3.84	7.3	3.4	4.0
12	2013/02/28	00:06	5.77e+13	123	7.17	13.6	3.1	3.3
13	2013/02/28	02:59	2.92e+13	89	10.02	18.1	2.8	2.6
14	2013/02/28	04:04	3.63e+13	81	10.76	29.9	3.0	2.6
15	2013/02/28	04:19	1.59e+13	99	10.59	7.2	2.7	2.7
16	2013/03/03	23:22	1.46e+13	95	9.21	7.5	2.6	2.9
17	2013/06/19	23:19	1.51e+13	100	7.57	6.6	2.5	2.7
18	2015/12/29	18:56	2.10E+14	255	5.10	3.2	3.2	4.3
19	2015/12/29	19:22	1.22E+12	85	15.8	0.7	1.7	1.9
20	2015/12/29	20:42	1.76E+12	89	14.9	0.7	1.8	2.1
21	2015/12/29	21:28	3.62E+12	99	13.3	0.4	1.8	2.1
22	2015/12/29	21:49	7.00E+11	82	15.8	0.4	1.6	1.9
23	2015/12/29	21:57	4.35E+11	84	15.6	0.5	1.7	1.9
24	2015/12/29	23:35	3.57E+11	68	15.4	0.5	1.6	1.7
	Maramures							
1	2015/07/19	10:56	2.55e+13	194	8.32	2.2	2.7	3.0
2	2015/07/19	11:30	1.96e+14	385	4.16	2.0	3.1	3.8

3	2015/07/19	11:49	1.52e+13	130	12.25	3.2	2.4	2.5
4	2015/07/19	12:23	5.93e+13	241	6.19	2.5	2.9	3.4
5	2015/07/19	13:41	3.12e+13	236	6.73	1.2	2.7	3.0
6	2015/07/19	15:14	2.69e+13	201	7.94	1.8	2.7	3.0
7	2015/07/19	17:51	4.67e+12	101	15.48	2.5	2.1	2.0
8	2015/07/19	17:53	6.49e+12	128	12.47	1.6	2.3	2.3
9	2015/07/19	18:58	3.36e+12	114	14.03	1.2	2.2	2.2
10	2015/07/19	21:14	2.01e+13	189	8.43	1.6	2.8	3.2
11	2015/07/19	21:14	1.07e+14	305	5.22	2.0	3.0	3.6
12	2015/07/20	15:29	7.31e+12	137	11.68	1.5	2.3	2.4
13	2015/07/21	02:32	5.24e+12	102	15.72	2.6	2.1	1.9
14	2015/07/21	03:08	1.83e+13	149	10.92	3.6	2.4	2.5
Marasesti								
1	2014/11/22	19:14	1.76e+17	1075	1.98	71	5.4	5.7
2	2014/11/22	19:27	1.80e+13	116	17.21	7	2.1	2.1
3	2014/11/22	20:24	5.92e+13	192	9.35	4	2.6	2.8
4	2014/11/22	20:30	1.14e+14	200	8.98	7	2.7	3.1
5	2014/11/23	01:14	4.63e+13	179	10.00	4	2.4	2.5
6	2014/11/23	02:21	3.11e+13	164	10.94	3	2.4	2.5
7	2014/11/23	04:01	4.23e+13	180	9.09	4	2.5	2.6
8	2014/11/23	05:27	3.93e+13	161	11.22	5	2.3	2.4
9	2014/11/23	10:16	2.78e+13	175	9.50	3	2.5	2.7
10	2014/11/23	23:22	2.14e+13	140	12.81	3	2.3	2.3
11	2014/11/24	00:45	2.48e+13	157	11.62	4	2.3	2.4
12	2014/11/25	01:52	2.21e+14	248	6.64	8	2.8	3.2
13	2014/12/07	21:04	2.39e+15	510	3.89	11	3.4	4.5
14	2015/01/19	23:53	7.55e+14	356	5.53	9	3.1	3.8
15	2015/01/20	02:52	5.12e+13	117	15.37	17	2.2	2.2
16	2014/12/14	17:24	1.30e+14	225	7.18	5	2.7	3.1
17	2014/12/14	18:24	4.83e+13	200	8.50	5	2.5	2.6
18	2015/01/12	06:08	7.43e+14	329	4.58	12	3.3	4.2
19	2015/01/18	22:41	8.71e+12	98	16.76	5	2.0	1.8
20	2015/06/29	22:20	4.28e+14	304	5.17	9	3.2	4.0
21	2015/07/01	04:34	6.24e+13	213	7.00	3	2.8	3.2
22	2013/03/16	00:34	1.24e+14	304	4.94	2	3.2	3.8
23	2013/03/16	00:41	7.26e+12	116	13.30	3	2.5	1.6
24	2013/02/13	05:18	1.18e+13	125	13.37	4	2.5	2.6
25	2013/03/20	19:43	1.49e+14	286	5.38	5	3.3	3.6
26	2013/03/20	21:05	1.26e+13	126	11.89	3	2.5	1.8
27	2013/03/21	03:07	6.68e+12	97	15.79	5	2.3	1.4
28	2012/08/23	07:56	6.95e+13	238	7.03	3	3.0	3.4
29	2012/08/23	08:58	5.18e+12	106	15.9	2	2.3	2.3
	Depresiunea	Caransebeş	Mehadia					
1	2014/10/31	23:00	1.94e+15	228	3.71	72	4.1	4.7
2	2014/10/31	23:05	1.10e+13	78	10.20	10	2.5	2.4
3	2014/10/31	23:41	2.36e+13	95	8.28	12	2.7	1.6

4	2014/10/31	23:08	8.23e+ 12	76	11.93	8	2.5	1.6
5	2014/10/31	23:11	8.55e+12	65	14.25	14	2.5	2.5
6	2014/11/01	05:37	6.59e+12	57	11.50	-	2.4	1.6
7	2014/11/01	07:16	8.62e+12	88	10.35	6	2.5	1.9
8	2014/11/01	12:10	2.04e+12	62	14.75	4	2.1	1.3
9	2014/11/02	04:17	3.36e+12	64	12.68	6	2.2	1.9
10	2014/11/02	19:39	4.77e+12	69	13.30	6	2.3	1.4
11	2014/11/05	08:42	2.95e+12	74	12.46	3	2.2	1.6
12	2014/11/18	04:27	4.55e+12	76	12.05	5	2.4	1.9
13	2014/12/03	10:34	5.90e+12	74	12.48	6	2.4	1.5
14	2014/12/15	09:24	3.16e+12	54	15.22	9	2.2	1.4
	Depresiunea	Hateg						
1	2011/03/24	11:02	1.24e+14	70	7.37	158	3.1	3.5
2	2011/03/25	12:01	1.06e+14	134	6.19	19	3.2	3.5
3	2011/03/25	15:12	1.72e+14	120	4.33	44	3.3	4.0
4	2013/09/08	13:00	5.18e+14	214	3.81	23	3.6	4.2
5	2013/09/08	13:22	1.87e+15	269	2.97	42	4.0	4.7
6	2013/10/31	06:10	7.38 e+13	75	6.94	77	3.0	2.6
7	2013/09/08	14:21	1.37e+13	73	11.18	15	2.5	2.2
8	2013/09/09	15:30	2.44 e+13	98	7.08	11	2.7	2.5
	Tg-Jiu							
1	2012/01/01	23:57	4.39e+15	270	3.37	112	4.5	4.5
2	2012/01/02	00:17	5.45e+14	217	4.23	29	3.8	4.0
3	2012/01/02	00:23	7.35e+14	202	4.48	47	3.9	3.9
4	2011/12/30	07:30	9.80e+13	98	9.28	55	3.3	3.2
5	2012/01/01	20:00	2.90e+14	164	6.50	33	3.7	3.6
6	2012/01/02	00:04	1.31e+13	96	10.64	6	2.8	2.6
7	2012/01/02	00:06	3.86e+13	97	9.76	21	3.1	2.7
8	2012/01/02	00:08	1.05e+14	107	8.57	45	3.4	3.0
9	2012/01/02	00:12	1.65e+13	91	10.06	12	2.8	2.5
10	2012/01/02	00:15	8.44e+13	110	8.19	37	3.3	3.1
11	2012/01/02	01:08	1.65e+14	127	7.18	43	3.5	3.2
12	2012/01/02	01:33	5.78e+14	190	5.28	43	3.9	3.8
13	2012/01/02	01:45	2.30e+14	123	7.43	66	3.6	3.2
14	2012/01/02	01:51	6.26e+13	106	8.60	28	3.2	3.0
15	2012/01/02	02:15	2.85e+13	104	8.38	12	3.0	2.8
	Vecinatatea	Array						
1	2011/06/24	13:08	1.01e+15	227	3.72	37.8	3.8	4.6
2	2011 /06/24	13:06	6.25e+13	81	8.24	51.5	3.1	2.9
3	2011/06/24	13:31	6.03e+13	88	8.33	38.7	3.1	2.8
4	2011 / 06/24	16:18	3.58e+13	71	8.16	43.8	2.9	2.6
5	2011/06/25	00:13	4.20e+13	99	8.29	18.9	2.9	3.0
6	2011 /06/25	01:43	8.21e+13	109	6.74	27.7	3.1	3.2
7	2011/06/30	21:21	2.25e+13	68	7.79	31.3	2.8	3.0
8	2011/06/30	21:22	2.08e+13	64	8.28	34.7	2.8	2.9
9	2011/07/01	22:20	1.35e+13	-	-	-	2.6	2.5
	Ramnicu	Sarat						
1	2007/11/29	18:50	7.40e+14	387	2.48	9.0	3.1	3.9
2	2007/11/29	18:54	4.02e+14	194	5.10	2.5	2.3	2.4
3	2007/12/01	03:14	3.36e+14	163	6.09	4.0	2.5	2.6

4	2007/12/01	07:55	4.54e+14	198	4.54	2.6	2.5	2.7
---	------------	-------	----------	-----	------	-----	-----	-----

6. Rezultate, stadiul realizării obiectivului fazei, concluzii și propuneri pentru continuarea proiectului (se vor preciza stadiul de implementare a proiectului, gradul de indeplinire a obiectivului cu referire la tintele stabilite si indicatorii asociati pentru monitorizare si evaluare

Prin rezultatele prezentate referitoare la parametrizarea sursei cutremurelor secentelor din zonele Campulung-Fagaras si Maramures, sinteza relatiilor de scalare ale parametrilor sursei seismice crustale din ultimii 30 de ani si parametrii de sursa determinati pentru 117 de cutremure crustale consideram ca **obiectivele fazei au fost indeplinite in totalitate si ca angajamentele asumate au fost** atinse, iar proiectul a atins gradul de implementare scontat pentru aceasta faza.

Propuneri pentru continuarea proiectului:

In această etapă, **obiectivul a fost indeplinit integral** iar **rezultatele obtinute sunt in concordanta cu tintelete propuse** venind in sprijinul implementarii proiectului. Cu toate acestea, activitatile trebuie continuate, calculele trebuie realizate in mod permanent si rezultatele imbunatatite, pe masura aparitiei de noi secvente de cutremure pe teritoriul Romaniei. De asemenea, vor fi actualizate datele cu parametrii de sursa ai cutremurelor de adancime intermediara din zona Vrancea.

Indicatori: Rezultatele obtinute in acesta faza au fost si vor fi prezentate la conferinte stiintifice nationale si internationale.

Conferinte

EGU 2018, European Geosciences Union General Assembly, 9 - 13 aprilie 2018

1. Mihai A., Petrescu L., Radulian M., Lithospheric structure across the Trans-European Suture Zone in Eastern Carpathians from surface wave dispersion (EGU2018-419, poster)
- 2.Borleanu F., Petrescu L., Popa M., Radulian M., Enescu B., The missing craton edge: crustal structure of the East European Craton edge beneath the Carpathian Orogen as revealed by double-difference tomography (EGU2018-1662, poster)

IBWAP-10-13 iulie 2018, Constanta-Prezentari acceptate

1. Oros, E., A.O. Placinta, M. Diaconescu, M. Popa, I.A. Moldovan, Active stress and strain fields in the southeastern border of Pannonian Basin. case study: western seismogenic zones of Romania, poster.
2. Placinta, A.O., M. Radulian, F. Borleanu, E. Popescu, Seismicity clustering properties in space and time in front of the South-eastern Carpathians bend zone, poster.

3. Radulian, M., A. Bala, L. Ardeleanu, E. Popescu, A.O. Placinta, D. Toma-Danila, E.Oros, Revised catalog of earthquake mechanisms for the events occurred in Romania until the end of XX century – RCEMXX.

ESC 2-9 September, 2018, Malta-Prezentari acceptate

1. E. Oros, A. O. Placinta, M. Popa, M. Diaconescu, I. A. Moldovan, Seismic sequences tipology and stress-strain pattern in the southern part of Pannonian Basin. case study: the western seismogenic zones of Romania, (poster).

2. A.O. Placinta, E., Popescu, M. Radulian and F. Borleanu (poster). Source characteristics of the crustal moderate earthquakes occurred in the last 30 years in the Carpathians area, Romania, (poster).

3. Radulian M., Borleanu F., Popescu E., Placinta A. O., Space-time clustering and source characteristics in the crustal seismicity in front of the South-Eastern Carpathians Arc bend.

4. Rogozea M., Borleanu F., Radulian M., Popa M., Space-time variation of low magnitude seismic events occurred in the north-western part of Romania as revealed by waveforms cross-correlation and spectral analysis.

5. Radulian M., Borleanu F., Dinu C., Munteanu I., Oros E., Popa M., Seismicity and seismotectonic characterization of the western branch of the South Carpathians in Romania.

Publicatii - aparute si in curs de aparitie la reviste cu referenti cotate ISI:

Bălă A., Radulian M., Popescu E., Toma-Danilă D., Catalogue of earthquake mechanism and correlation with the most active seismogenic zones in south-eastern part of Romania, in Vacareanu R., Ionescu C. (eds) Seismic Hazard and Risk Assessment. Springer Natural Hazards. Springer, 23 - 37, 2018.

Radulian M., Bala A., Popescu E., Toma-Danila D., Earthquake mechanism and characterization of seismogenic zones in south-eastern part of Romania, *Annals of Geophysics* 61 (1), SE108, doi: 10.4401/ag-7443, 2018.

Popescu E., Radulian M., Bala A., Toma-Danila D., Earthquake mechanism in the Vrancea subcrustal source and in the adjacent crustal seismogenic zones of the South-Eastern Romania, *Romanian Reports in Physics*, 2018 (in press).

Responsabil proiect

Dr. Emilia Popescu

Responsabil proiect

Dr. Iren Adelina Moldovan